

# EINE NEUE METHODE ZUR BESTIMMUNG DER SPRÖDBRUCHGEFAHR

Von

L. GILLEMOT

Lehrstuhl für Mechanische Technologie, Technische Universität, Budapest

(Eingegangen am 30. September 1963)

## I. Einleitung

Nach der heute geltenden allgemeinen Auffassung wird die Sprödbrechneigung eines Materiales von drei Größen, von der Beanspruchungsgeschwindigkeit, vom mehrachsigen Spannungszustand und von der Temperatur bestimmt. Eine dieser Größen allein genügt nur selten zur Herbeiführung des Sprödbrechens. Nach der Feststellung von WELLINGER und HOFFMANN [1] läßt sich bei Metallen mit kubisch raumzentriertem Gitter eine Temperatur finden, die für sich allein ausreicht, um den Sprödbbruch herbeizuführen, während bei Metallen mit kubisch flächenzentriertem Gitter (Kupfer, Aluminium) keine solche Temperatur aufzufinden ist. Auch die Beanspruchungsgeschwindigkeit für sich allein reicht oft nicht aus, um den Sprödbbruch auszulösen. Die kritische Zerreißgeschwindigkeit von Kupfer liegt nach KÁRMÁN, DUWEZ und CLARK [2, 3] bei etwa 50 m/s.

SIEBEL und MENGES [4] untersuchten die gemeinsame Wirkung von Temperatur und Geschwindigkeit und stellten fest, daß bei einer Beanspruchungsgeschwindigkeit von  $10^7$  kp/mm<sup>2</sup>/s der Stahl C 15 bei  $-45^\circ$  C, der Stahl C 60 bei  $-50^\circ$  C und der Stahl St 37,11 bei  $-5^\circ$  C spröde wird.

Bedeutend schwieriger gestaltet sich die Untersuchung der Wirkung des mehrachsigen Spannungszustandes, und dies besonders dann, wenn man gleichzeitig auch die Wirkung der Geschwindigkeit und der Temperatur berücksichtigen muß. Der mehrachsige Spannungszustand wird in der Regel durch gekerbte Probestäbe hergestellt, wobei man meist die gekerbten Schlagbiegeprobestäbe verwendet. Jeder Schlagbiegeversuch mit gekerbten Probestäben zeigt jedoch jeweils eine andere Sprödbrechtemperatur an je nachdem, wie man den Begriff des Sprödbrechens definiert und welchen Probestab man benützt. Schon RÜHL [5] hat nachgewiesen, daß verschiedene Schlagbiegeprobestäbe nach Charpy die unterschiedlichsten kritischen Übergangstemperaturen aufzeigen können (Bild 1).

Obzwar der Schlagbiegeversuch nach Charpy sehr wertvolle und nützliche Aufschlüsse über die Sprödbrechneigung der verschiedenen Werkstoffe liefern kann, ist er nicht geeignet, den absoluten Wert dieser Neigung zu charakterisieren, und zwar in erster Reihe deshalb, weil das Proportionalitätsgesetz bei

diesem Versuch keine Geltung hat, wie das von STANTON [6] und STRIBECK [7] längst nachgewiesen wurde. Nach ihren Versuchen zeigen nicht einmal die Ergebnisse geometrisch ähnlicher, aber unterschiedlich großer Probestäbe eine Proportionalität an. Grundsätzlich gelangt man zu ähnlichen Feststellungen auch bei den anderen, in neuerer Zeit entwickelten Sprödbbruchproben.

Wir haben uns eben deshalb das Ziel gesetzt, eine Methode zur Bestimmung der Sprödbbruchneigung zu entwickeln, für die das Proportionalitätsgesetz gültig ist und die zumindest für geometrisch ähnliche Probestäbe zahlenmäßig identische Meßgrößen ergibt.

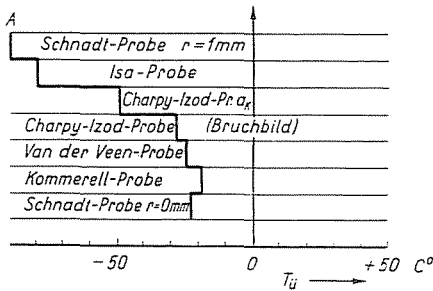


Bild 1. Die kritische Übergangstemperatur verschiedener Schlagbiegeprobestäbe (nach K. RÜHL)

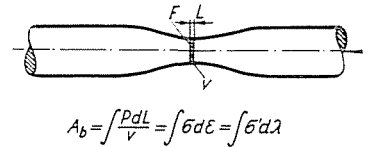


Bild 2. Ein ausgewähltes Volumenelement zur Bestimmung der spezifischen Formänderungsarbeit

Zunächst ist festzustellen, daß die Arbeit nur dem deformierten Volumen proportional sein kann, sofern die Kraft bei der Beanspruchung (auf Zug oder Druck) mit dem Probestabquerschnitt verhältnismäßig ist. Um also ein Proportionalitätsgesetz festlegen zu können, muß die Arbeit auf die Volumeneinheit bezogen werden und nicht auf die Oberfläche, wie das beim Schlagbiegeversuch nach Charpy üblich ist.

Bemerkt sei hier, daß KICK und BARBA [8] das Proportionalitätsgesetz beim Zerreißen glatter Probestäbe bereits in den achtziger Jahren des vergangenen Jahrhunderts folgendermaßen formuliert haben: » . . . daß die zur geometrisch ähnlichen Verformung geometrisch ähnlicher Körper von gleichem Stoff erforderliche Arbeit ihrem Volumen proportional ist«. Obzwar diese Formulierung nicht exakt ist, kommt sie den tatsächlichen Verhältnissen recht nahe. Man wird deshalb zweckmäßig den Begriff der spezifischen Formänderungsarbeit einführen, der gemäß Bild 2 auf folgende Weise definiert werden kann: in dem einschnürenden Querschnitt des Zerreißprobestabes wird ein differentiell kleiner Querschnitt gewählt, dessen Länge zu Beginn des Versuches  $L_0$ , dessen Querschnitt hingegen  $F_0$  sei. Auf Grund des Gesetzes der Unveränderlichkeit des Volumens wird im Laufe der Zerreißprobe

$$F_0 \cdot L_0 = F \cdot L, \quad (1)$$

wenn  $F$  den Querschnitt und  $L$  die Länge eines ausgewählten Volumens in einem beliebigen Augenblick bedeutet. Die spezifische Formänderungsarbeit schreibt sich zu

$$A_p = \int_0^L \frac{P \cdot dL}{F_0 \cdot L_0} = \int_0^L \frac{P \cdot dL}{F \cdot L}. \quad (2)$$

Da  $\sigma = P/F_0$  die auf den Anfangsquerschnitt,  $\sigma' = P/F$  die auf den veränderten Querschnitt bezogene wahre Spannung darstellt und da weiter  $d\varepsilon = dL/L_0$  und  $d\lambda = dL/L$ , wird

$$A_p = \int_0^\varepsilon \sigma \cdot d\varepsilon = \int_0^\lambda \sigma' \cdot d\lambda, \quad (3)$$

wenn  $\varepsilon$  die örtliche Dehnung,  $\lambda$  hingegen die logarithmische Dehnung nach Ludwik bezeichnet. Aus dem Gesetz der Unveränderlichkeit des Volumens gemäß (1) folgt, daß

$$1 + \varepsilon = \frac{1}{1 - \psi}, \quad (4)$$

beziehungsweise

$$\varepsilon = \ln(1 + \lambda). \quad (5)$$

Jede der verschiedenen Dehnungen läßt sich also einfach aus der Einschnürung, diese selbst aber bekanntlich einfach durch Messen der Durchmesser ermitteln.

Der Begriff der spezifischen Formänderungsarbeit ist in der Fachliteratur nicht unbekannt. Er wurde von LUDWIK bereits vor etlichen Jahrzehnten verwendet. Neuerdings hat MATTHAES [9, 10] einige Fragen der spezifischen Formänderungsarbeit ausführlicher behandelt. Eine Verbreitung dieses Begriffes in der Werkstoffprüfung verhinderte vor allem die Tatsache, daß zu seiner Bestimmung nur graphische Methoden zur Verfügung standen. Die einfache numerische Methode zur Lösung der Integrale in (3) wurde von uns schon früher mitgeteilt [11, 12], weshalb es sich erübrigt, auf die Ableitung hier näher einzugehen.

Im weiteren soll als Meßgröße der Sprödb Brüchigkeit die spezifische plastische Formänderungsarbeit benützt werden.

## 2. Die Veränderung der Geschwindigkeit im Laufe des Zerrei ßversuches

Da die Sprödb rüchneigung besonders im mehrachsigen Spannungszustand von der Geschwindigkeit stark beeinflußt wird, muß zunächst untersucht werden, wie sich die Formänderungsgeschwindigkeit im Laufe der Zerrei ßversuche an einfachen zylindrischen Probestäben bzw. an gekerbten Zerrei ß-

probestäben ändert. Zur Kennzeichnung der Formänderungsgeschwindigkeit soll im weiteren die spezifische Dehngeschwindigkeit dienen, es wird also

$$v = \frac{d\varepsilon}{dt} \quad (6)$$

gelten. Beim Zerreißen glatter, zylindrischer Probestäben ist die spezifische Dehngeschwindigkeit — wenn die Fortbewegungsgeschwindigkeit der Einspannköpfe mit  $U_0$  (mm/min) bezeichnet wird — bis zur Grenze der gleichmäßigen Dehnung in jedem beliebigen Querschnitt des Probestabes

$$v = \frac{U_0}{L_0}. \quad (7)$$

Der Einfluß der Dehngeschwindigkeit auf die Festigkeit ist bekannt. Er wurde bis zur Grenze der gleichmäßigen Dehnung bereits von NÁDAI und MANJOINE [13] sowie von mehreren anderen Autoren bestimmt.

Die Wirkung der Geschwindigkeit wurde auf Grund eines gedachten Modells von PRANDTL [14] auch theoretisch abgeleitet, wobei er fand, daß

$$P_2 = P_1 + a \cdot F_m \cdot \ln \frac{v_2}{v_1}, \quad (8)$$

wenn  $P_1$  die zur Formänderung bei einer Dehngeschwindigkeit  $v_1$  erforderliche,  $P_2$  hingegen die bei einer Dehngeschwindigkeit  $v_2$  benötigte Kraft,  $F_m$  den Querschnitt bei der maximalen Kraft bezeichnet, während  $a$  eine Materialkonstante ist, deren zahlenmäßige Werte auf Grund der Versuche von NÁDAI und MANJOINE ermittelt werden können.

Wird die Gleichung (8) durch den Querschnitt  $F_m$  dividiert, so wird

$$\sigma'_{m_2} = \sigma'_{m_1} + a \cdot \ln \frac{v_2}{v_1}, \quad (9)$$

wobei  $\sigma'_m$  die wahre Spannung bei der maximalen Kraft ist. Setzt man in dieser Formel an die Stelle des natürlichen den Briggschen Logarithmus, findet man für Kupfer auf Grund der Versuche von NÁDAI und MANJOINE einen  $a$ -Wert von 1,2 kp/mm<sup>2</sup>.

Bekanntlich entsteht im Laufe der Zerreißprobe, sobald die gleichmäßige Dehnung beendet ist, ein mehrachsiger Spannungszustand. Den mehrachsigen Spannungszustand an der Einschnürungsstelle untersuchten BRIDGEMAN, SIEBEL und SCHWAIGERER [15, 16] auf Grund verschiedener Annahmen, wobei sie zu mehr oder weniger übereinstimmenden Ergebnissen gelangten. Die nach Aufhören der gleichmäßigen Dehnung eintretende Einschnürung ist zwangsläufig mit dem Entstehen eines mehrachsigen Spannungszustandes verbunden. Die anfänglich gerade Kontur des Probestabes erfährt an der Ein-

schnürungsstelle deshalb eine Krümmung, weil der Spannungszustand mehrachsiger ist, und aus dem gleichen Grunde ändert sich an der Kontraktionsstelle auch die Geschwindigkeit der Formveränderung. Entsprechend kann man sich statt der Beschreibung des mehrachsigen Spannungszustandes auf die Untersuchung der Geschwindigkeitsveränderung beschränken. Erreicht die Änderung der Probestablänge infolge der Einschnürung den Wert  $x$ , läßt sich

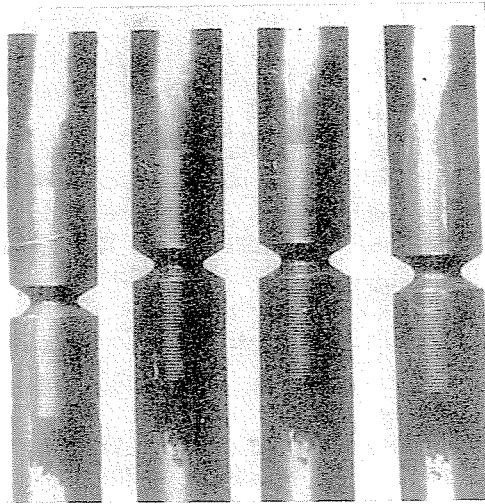


Bild 3. Schattenbild eines Zerreißprobekörpers

durch äußerst genaue Messungen feststellen, daß für glatte zylindrische Probe-  
stäbe

$$x = k_1 \cdot d_0 \cdot \frac{\psi - \psi_m}{1 - \psi_m}, \quad (10)$$

wenn  $k_1$  eine Konstante,  $d_0$  den Durchmesser des Anfangsquerschnitts,  $\psi$  die jeweilige Einschnürung und  $\psi_m$  die Einschnürung an der Grenze der gleichmäßigen Dehnung bedeutet [17, 18].

Zur Bestimmung der Zusammenhänge nach Formel (10) hat CZOBOLY eine photographische Methode ausgearbeitet. Während der Versuche werden von den Probestäben kontinuierlich photographische Aufnahmen angefertigt, aus denen die der jeweiligen Einschnürung zugehörige Dehnung stets eindeutig bestimmt werden kann. Bild 3 zeigt eine solche Aufnahme.

Die Konstante  $k_1$  hat bei Weichstählen den runden Wert von 0,8. Um die Besprechung einfacher zu gestalten, sei in Formel (10)

$$\frac{\psi - \psi_m}{1 - \psi_m} = q = \frac{F_m - F}{F_m}, \quad (11)$$

wobei  $q$  die örtliche Einschnürung bedeutet, u. zw. bezogen auf den Querschnitt  $F_m$ , der unter der Einwirkung der maximalen Kraft entsteht.

Ist die bei den Versuchen verwendete Zerreimaschine sehr hart und die zur Kraftmessung bentigte Bewegung praktisch vernachlssigbar — eine Bedingung, die nur von Zerreimaschinen bestimmter Systeme erfllt wird [17] — so wird die Dehngeschwindigkeit im Verlauf der Einschnrung der Bewegungsgeschwindigkeit  $U_0$  der Einspannkpfe gleich sein. Aus den Gleichungen (10) bzw. (11) folgt also, da

$$\frac{dx}{dt} = k \cdot d_0 \cdot \frac{dq}{dt} = U_0. \quad (12)$$

Der Zusammenhang zwischen der rtlichen Einschnrungsgeschwindigkeit und der spezifischen Dehngeschwindigkeit lt sich unter Bercksichtigung der Formel (11) durch Differenzieren der Gleichung (4) nach der Zeit bestimmen. Die Dehngeschwindigkeit wird also

$$\frac{d\varepsilon}{dt} = \frac{k \cdot d_0}{(1 - \psi_m)(1 - q)^2}, \quad (13)$$

wobei bei Beginn der Einschnrung, also im Punkte  $q = 0$ ,

$$\left[ \frac{d\varepsilon}{dt} \right]_{q=0} = \frac{k \cdot d_0}{1 - \psi_m}. \quad (14)$$

Fr einen beliebigen Punkt ergibt sich also auf Grund der PRANDTLschen Gleichung (8) — wenn man die Geschwindigkeit in diesem Punkt auf die Geschwindigkeit im Punkt  $q = 0$  bezieht — der Zusammenhang

$$P_2 = P_1 + a \cdot F_m \cdot \ln \frac{1}{(1 - q)^2}, \quad (15)$$

wobei  $P_1$  jene Kraft bedeutet, die zur Formnderung ntig wre, wenn die Geschwindigkeit im Laufe der Einschnrung unverndert bliebe, whrend  $P_2$  die den tatschlich auftretenden Geschwindigkeiten entsprechende, an der Zerreimaschine gemessene Kraft bezeichnet.

Durch Division dieser Gleichung mit dem jeweiligen Querschnitt erhlt man die Gleichung, die die wahren Spannungen beschreibt. Die Gleichung (15) und der aus ihr abgeleitete Zusammenhang fr die mittleren wahren Spannungen ergibt innerhalb der durch die Megenauigkeit bestimmten Grenzen eine gute bereinstimmung mit den Meergebnissen fr die verschiedensten Versuchswerkstoffe (Cu, Al, Fe usw.), sofern die Werte der Konstante  $a$  nach den Versuchen von NDAI und MANJOINE ermittelt und eingesetzt werden. Hieraus

folgt, daß die Wirkung des mehrachsigen Spannungszustandes, wie er im glatten Zerreiprobestab whrend der Einschnrung entsteht, sowie die Wirkung der Geschwindigkeit auf die wahre Spannungskurve gleichbedeutende Begriffe darstellen, und da die wahre Spannungskurve unter Bercksichtigung der Wirkung der vernderlichen Dehngeschwindigkeit mathematisch einfach beschrieben werden kann. Es mu betont werden, da die Konstante  $a$  der Gleichung eine fr den einachsigen Spannungszustand bestimmte Gre ist, mit deren Hilfe der mehrachsige, whrend der Einschnrung entstandene Spannungszustand unter Bercksichtigung der Geschwindigkeitsvernderung exakt beschrieben werden kann.

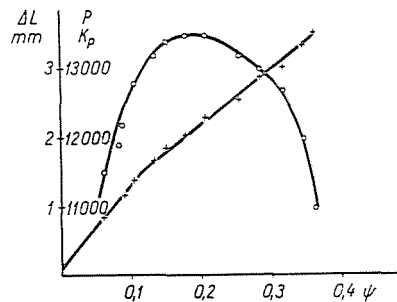


Bild 4. Einschnrungsabhngige Lngenvernderung an einem gekerbten Probestab

Die an glatten Zerreiprobestben ermittelten Ergebnisse lassen sich uerst einfach auch fr gekerbte Probestbe verallgemeinern. Die Gesamtdehnung des Probestabes haben wir in Abhngigkeit von der Einschnrung nach der schon erwhnten photographischen Methode auch an gekerbten Probestben bestimmt. Die Gleichung (10) hat auch in diesem Falle Geltung, mit dem Unterschied allerdings, da hier keine gleichmige Dehnung vorliegt, weshalb  $\psi_m \cong 0$ , also  $x = k_2 \cdot d_0 \cdot \psi$ . Der Proportionalittsfaktor  $k_2$  ist hier kleiner als bei glatten Zerreiprobestben. Er hat einen Wert von ungefhr 0,45 und ist praktisch unabhngig von der Mehrachsigkeit des Spannungszustandes. Fr gekerbte Probestbe gilt demnach die gleiche Gesetzmigkeit wie fr glatte Probestbe, mit dem Unterschied, da die Konstante der Gleichung (15) einen anderen Zahlenwert annimmt und an Stelle von  $q$  ein  $\psi$  zu setzen ist, da  $\psi_m = 0$ . Als Beispiel zeigt Bild 4 das Ergebnis einer solchen Versuchsreihe.

Alle bisher dargelegten Zusammenhnge haben also unverndert auch fr gekerbte Probestbe Geltung, mit dem einzigen Unterschied, da der Wert der Konstante  $a$  beim Zerreien der glatten Probestbe aus dem einachsigen Anfangsspannungszustand bestimmt wurde. Im gekerbten Probestab herrscht jedoch von Anfang an ein mehrachsiger Spannungszustand, der fr die tech-

nische Praxis am einfachsten mit dem Formfaktor  $a_k$  charakterisiert werden kann. Wenn man berücksichtigt, daß beim gekerbten Probestab bereits anfangs ein mehrachsiger Spannungszustand vorliegt, ist es klar, daß hier der Wert der Konstante  $a$  von der Mehrachsigkeit des Spannungszustandes abhängig sein muß. Das Verhalten des gekerbten Probestabes kann also eindeutig durch den am Anfang des Versuches bestehenden Spannungszustandes charakterisiert werden, wenn die Geschwindigkeitsveränderung während des Versuches bekannt ist.

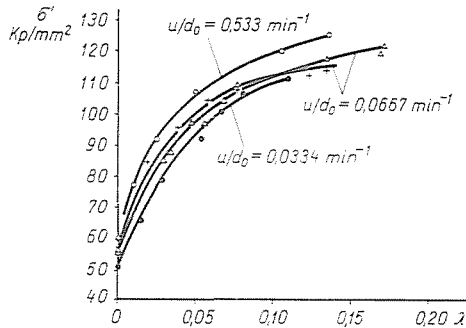


Bild 5. Wahre Spannungskurve geometrisch ähnlicher Probestäbe in Abhängigkeit von der logarithmischen Dehnung

### 3. Das Proportionalitätsgesetz

Das einfachste Proportionalitätsgesetz zwischen zwei gekerbten Probestäben muß selbstverständlich dann Geltung haben, wenn jede Dimension des einen Probestabes linear zu jenen des anderen vergrößert ist. Die Fließkurven zweier gekerbter, in allen Abmessungen einander proportionaler Probestäbe müssen also Punkt für Punkt übereinstimmen, wenn die beiden einander proportionalen Probestäbe mit der gleichen spezifischen Geschwindigkeit gedehnt werden. Aus Gleichung (13) folgt, daß die spezifische Dehngeschwindigkeit bei gekerbten Probestäben dem Durchmesser der Probestäbe einfach proportional ist. Erfolgt also in dem einen Fall das Zerreißen eines Probestabes mit dem Durchmesser  $d_0$  mit der Geschwindigkeit  $U_0$ , das Zerreißen eines Probestabes mit dem Durchmesser  $d_1$  mit der Geschwindigkeit  $U_1$  und wird dabei die Bedingung  $U_0/d_0 = U_1/d_1$  erfüllt, müssen die beiden Zerreißdiagramme einander genau decken.

In Bild 5 sind die Ergebnisse von Versuchen dargestellt, die an einander proportionalen, in ihren Abmessungen jedoch voneinander im Verhältnis von 1 : 2 abweichenden Probestäben mit unterschiedlichen Zerreißgeschwindigkeiten vorgenommen wurden. Bei gleichen  $U/d$ -Quotienten decken sich die Kurven der wahren Spannung innerhalb der durch die Meßgenauigkeit bestimm-

ten Grenzen. In diesem Bilde ist die mittlere wahre Spannung  $\sigma'$  in Abhängigkeit der Ludwigschen logarithmischen Dehnung  $\lambda$  dargestellt.

In diesem Falle ist nämlich die Diagrammfläche im Sinne der Gleichung (3) genau gleich der spezifischen Formänderungsarbeit. Daraus folgt die erste Formulierung des Proportionalitätsgesetzes, daß nämlich die Formänderungsarbeiten einander geometrisch ähnlicher gekerbter Probestäbe einander gleich sind, sofern auch die spezifische Dehngeschwindigkeiten einander gleich sind. In diesem Falle gibt ferner die Feststellung, daß die Fließkurven einander geometrisch ähnlicher Probestäbe miteinander genau übereinstimmen. Diese mit höchster Genauigkeit nachweisbare Gesetzmäßigkeit kann weiter verallgemei-

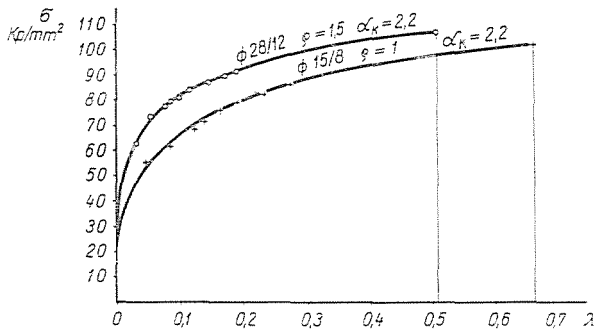


Bild 6. Mittlere wahre Spannung zweier geometrisch unähnlicher Probestäbe mit gleichem Formfaktor in Abhängigkeit von der logarithmischen Dehnung

ert werden, doch ergibt sich in der verallgemeinerten Formulierung eher eine für die technische Praxis gut verwendbare Korrelation als eine strenge Gesetzmäßigkeit.

In der verallgemeinerten Formulierung besagt dieses Gesetz, daß die Formänderungsarbeiten von Probestäben mit gleichen Formfaktoren, die einander jedoch geometrisch nicht ähnlich sind, praktisch identisch sind, daß jedoch ihre Fließkurven voneinander grundlegend abweichen. Das eine Ergebnis der diesbezüglichen Versuchsreihe ist in Bild 6 dargestellt. Der Versuch wurde an zwei verschiedenen Probestabserien durchgeführt. Der Außendurchmesser betrug bei einer Serie 28 mm, der Innendurchmesser der Kerbe 12 mm, während die Stäbe der anderen Serie einen Außendurchmesser von 15 mm und einen Kerbendurchmesser von 8 mm hatte. Der Quotient der beiden Außendurchmesser betrug also 1,86, der der Kerbendurchmesser dagegen 1,5. Der Abrundungsradius  $\rho$  wurde so gewählt, daß sich in beiden Fällen ein Formfaktor von  $\alpha_k = 2,2$  ergab.

In Bild 6 ist wieder die mittlere wahre Spannung in Abhängigkeit von der Ludwigschen spezifischen Dehnung  $\lambda$  dargestellt. Die beiden Diagramme weichen voneinander grundlegend ab, wogegen sie in ihrem Flächeninhalt — der

eben der spezifischen Formänderungsarbeit gleich ist — praktisch übereinstimmen. Diesen letzteren, eher bloß korrelationsmäßigen Zusammenhang haben wir bereits früher beschrieben.

Die Gültigkeit des Proportionalitätsgesetzes wurde von uns für einander geometrisch ähnliche Probestäbe auch in Abhängigkeit von der Temperatur kontrolliert. Die Ergebnisse der an einem Stahl C 45 bei drei verschiedenen

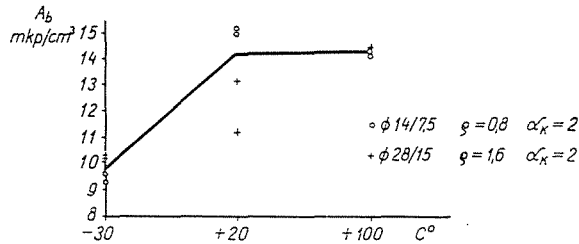


Bild 7. Die spezifische Formänderungsarbeit geometrisch ähnlicher Probestäbe mit gleichem Formfaktor in Abhängigkeit von der Versuchstemperatur. (Stahl C 45, vergütet)

Temperaturen durchgeführten Versuche zeigt *Bild 7*. Wie zu erwarten war, ist das Proportionalitätsgesetz auch unabhängig von der Versuchstemperatur gültig, folglich eignet es sich auch zur exakten Bestimmung der kritischen Temperatur.

#### 4. Die Berechnung der Formänderungsarbeit gekerbter Probestäbe

Der Wert der Formänderungsarbeit wurde bei den hier kurz umrissenen Versuchen sowohl graphisch als auch rechnerisch ermittelt. Die rechnerische Bestimmung erfolgt auf der Grundlage, daß die mittlere wahre Spannung in Abhängigkeit von der Einschnürung durch eine gerade Linie dargestellt werden kann. Diese Tatsache wurde an glatten Probestäben bereits von KÖRBER und ROHLAND [19] festgestellt. Versuche an einer sehr großen Zahl gekerbter Probestäbe haben es erkennen lassen, daß diese lineare Gesetzmäßigkeit auch für gekerbte Probestäbe gültig ist (*Bild 8*) [20]. Auf Grund dieses Zusammenhanges haben wir die Formel für die Berechnung der plastischen Formveränderungsarbeit schon früher mitgeteilt.

Wie aus *Bild 8* ersichtlich, weicht die Fließkurve in einigen Fällen ein wenig von der Geraden ab und zeigt eine Krümmung nach oben. Die Erklärung und die Methode der Berechnung dieser — hier vernachlässigten — Erscheinung werde ich in Kürze veröffentlichen [21].

Bei gekerbten Probestäben — besonders bei tiefen Kerben — ist die Abweichung von der Geraden so gering, daß die rechnerische Ermittlung

praktisch zu denselben Ergebnissen führt wie die graphische. Zur Berechnung der spezifischen Formänderungsarbeit kann man sich also auch bei gekerbten Probestäben der Formel

$$A_b = \frac{\sigma_s + 2\sigma_B}{3} \varepsilon_m + 4,6 \cdot \sigma_B (1 + \varepsilon_m) \log \left( \frac{1 - \psi_m}{1 - \psi_c} \right) + \sigma_B (1 + \varepsilon_m)^2 \left[ \frac{1}{1 - \psi_m} - \frac{1}{1 - \psi_c} \right] \quad (16)$$

bedienen.

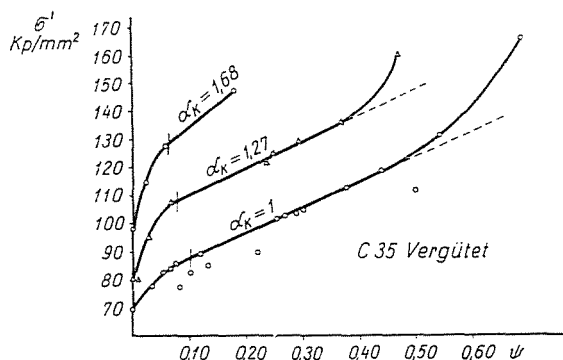


Bild 8. Wahre Spannungskurven für Proben mit verschiedenen Formfaktoren

### 5. Die Bestimmung der kritischen Übergangstemperatur

Auf Grund des hier gezeigten Proportionalitätsgesetzes ergeben sich an allen geometrisch ähnlichen, gekerbten Probestäben oder zumindest an allen Probestäben mit demselben Formfaktor dieselben Übergangstemperaturen. Offenbar kommt es dann zum Sprödbbruch des Probestabes, wenn die Arbeit der plastischen Formänderung Null wird. Streng genommen, läßt sich die Gesamtarbeit, die zum Bruch des Probestabes notwendig ist, in drei Teile, in die elastische, in die plastische Formänderungsarbeit bis zum Erscheinen des ersten makroskopischen Risses und in die Arbeit der Ausweitung des Risses zerlegen, es gilt somit

$$A_b = A_e + A_p + A_r, \quad (17)$$

wobei  $A_e$  die elastische Formänderungsarbeit,  $A_p$  die plastische Formänderungsarbeit, und  $A_r$  die Rißausweitungsarbeit bedeutet.

Während der Zerreißprobe ist die plastische Formänderungsarbeit weit größer als die Summe der beiden anderen Glieder. Demzufolge schreibt sich

die Bedingungsleichung des Sprödbruches streng genommen zu  $A_b = A_e + A_r$ . Näherungsweise ist jedoch die Bedingung  $A_p = 0$  bei Zerreiversuchen praktisch gleichbedeutend mit der Bedingung  $A_b = 0$ .

Auf Grund dieser Zusammenhänge lsst sich die Temperatur, bei der ein Sprdbruch auftritt, in Abhngigkeit vom mehrachsigen Spannungszustand, wie er durch die Kerbe entsteht, und in Abhngigkeit von der Zerreigeschwindigkeit eindeutig bestimmen. Im Sinne des Proportionalittsgesetzes ergeben sich an geometrisch hnlichen Probestben identische bergangstemperaturen.

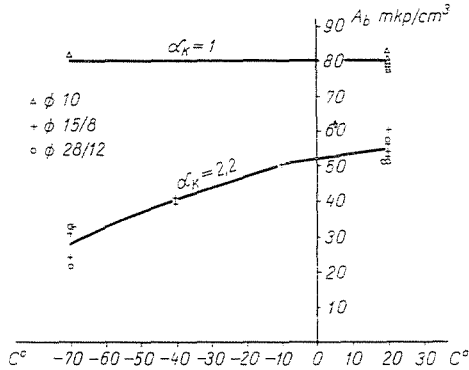


Bild 9. Temperaturabhngige Vernderung der Brucharbeit von C-10-Sthlen

Von den verschiedenen Versuchsreihen sollen hier nur einige Beispiele erwhnt werden. Die eine Versuchsreihe wurde an Stahl C 10 durchgefhrt, u.zw. teilweise an glatten Probestben und teilweise an Probestben verschiedener Abmessungen, wobei jedoch die Formfaktoren stets die gleichen waren. Die Ergebnisse dieser Versuche zeigt Bild 9. Die spezifische Formnderungsarbeit der glatten Probestbe war im ganzen untersuchten Temperaturbereich praktisch konstant, die Brucharbeit der gekerbten Probestbe mit dem Formfaktor 2,2 nhert sich zwar dem Nullwert, doch lies sich bei  $-70^{\circ}\text{C}$  mit dieser Kerbe noch kein Sprdbruch herbeifhren. Wie aus dem Bilde ersichtlich, ist die Streuung der Brucharbeit der gekerbten Probestbe im allgemeinen nicht grer als  $\pm 5$  mkp/cm<sup>2</sup>.

In den weiteren Bildern wurde die verhltnismig geringe Streuung der Mewerte nicht eingezeichnet, vielmehr wurden der besseren bersichtlichkeit wegen nur die Mittelwerte der Meergebnisse angegeben. Die spezifische Formnderungsarbeit eines Stahles A 37,21 erwies sich in weichem Zustand als praktisch unabhngig von der Versuchstemperatur, obzwar sie in Abhngigkeit vom Formfaktor stark sinkend war (Bild 10). Im grobkrnigen Zustand zeigte derselbe Stahl eine uerst groe Sprdbruchempfindlichkeit (Bild 11). Aus

diesem geht hervor, daß die Formänderungsarbeit, obzwar die temperaturabhängige Brucharbeit der glatten Probestäbe bis zu  $-70^{\circ}\text{C}$  praktisch konstant ist, bei Kerben mit dem Formfaktor  $\alpha_k = 3$  bereits bei  $-70^{\circ}\text{C}$  und bei Kerben mit dem Formfaktor  $\alpha_k = 6$  bereits bei  $-40^{\circ}\text{C}$  praktisch den Nullwert erreicht.

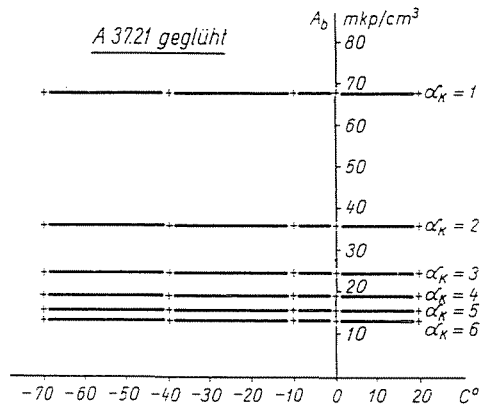


Bild 10. Die temperaturabhängige spezifische Formänderungsarbeit von Stahl A 37,21 in normiertem Zustand

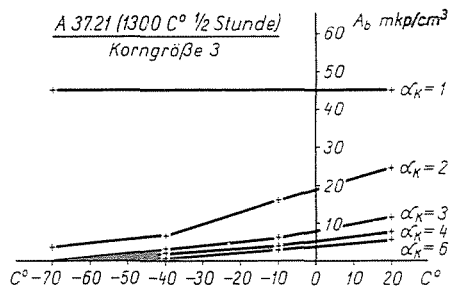


Bild 11. Die temperaturabhängige spezifische Formänderungsarbeit von Stahl A 37,21 in grobkörnigem Zustand

### 6. Zusammenfassung

Auf Grund von Untersuchungen der Geschwindigkeitsverhältnisse beim Zerreißen gekerbter Probestäbe läßt sich ein — auch im mehrachsigen Spannungszustand gültiges — Proportionalitätsgesetz aufstellen, nach welchem sich beim Zerreißen geometrisch ähnlicher Probestäbe mit gleichbleibender spezifischer Dehngeschwindigkeit stets dieselben Materialkenngrößen ergeben.

Dieses Gesetz kann so verallgemeinert werden, daß die spezifische Formänderungsarbeit beim Zerreißen geometrisch unähnlicher, jedoch denselben Formfaktor aufweisender Probestäbe praktisch gleich bleibt, trotzdem die anderen Materialkenngrößen voneinander abweichen. Mit Hilfe der beiden Proportionalitätsgesetze läßt sich die kritische Übergangstemperatur, die zum Spröbruch führt, bei jedem beliebigen Spannungszustand bestimmen.

### Literatur

1. WELLINGER K. und Z. HOFFMANN: Zeitschrift für Metallkunde, **39**, 233 (1948).
2. KÁRMÁN, TH. und P. E. DUWEZ: Journ. Appl. Phys. **21**, 987 (1950).
3. DUWEZ, P. E., CLARK, D. S.: Proc. American Soc. Testing Materials **47**, 502 (1947).
4. SIEBEL, E., MENGES, G.: Archiv f. d. Eisenhüttenwesen **28**, 31 (1957).
5. RÜHL, K.: Stahlbau, **24**, 145 (1955).
6. STANTON, T. E., BATSON, R. C. G.: Proc. Inst. Civ. Engineers **211**, 67 (1920/21).
7. STRIBECK, R.: Z. VDI **50**, 57 (1915).
8. SACHS, G. FIEK, G.: Der Zugversuch, Leipzig, 1926. 8.
9. MATTHAES, K.: Zeitschrift f. Metallkunde **43**, 14 (1952).
10. MATTHAES, K.: Zeitschrift f. Metallkunde **53**, 265—271 (1962).
11. GILLEMOT, L., SINAY, G.: Acta Technica Hung. T. **XXII**, 150.
12. GILLEMOT, L.: Materialprüfung, **3**, 330—336 (1961).
13. NÁDAI, A., MANJOINE, M.: Journal Appl. Mech. **8**, A77 (1941).
14. PRANDTL, L.: Zeitschrift f. Angew. Math. Mech. **8**, 85 (1928).
15. BRIDGEMAN: Large Plastic Flow and Pressure, New-York, London 1952.
16. SIEBEL, E., SCHWAIGERER S.: Archiv f. Eisenhüttenwesen **19**, 145 (1948).
17. GILLEMOT, L.: Archiv f. d. Eisenhüttenwesen (unter Druck).
18. CZOBOLY, E.: Dokt. Diss. Techn. Univ. Budapest.
19. KÖRBER, F., ROHLAND, W.: Mitt. K. W. I. Eisenforschung **5**, 37 (1924).
20. GILLEMOT, L.: Acta Technica Hung. **XXXV—XXXVI**, 105 (1961).
21. GILLEMOT, L.: Archiv f. d. Eisenhüttenwesen (unter Druck).

Prof. Dr. László GILLEMOT, Budapest, XI. Bertalan L. u. 7. Ungarn.